

# 水平流沈殿池における密度流と死水領域の発生機構について

九州大学工学部 正員 ○栗谷陽一

“ 楠田洋子

1. まえがき 水平流沈殿池の沈殿効果に重大な影響を及ぼすものの一つに、短絡流の問題がある。短絡流を生ずる原因としては、流入水と池内の水との密度差、流入水の流速分布又は流向、水面上の風など種々考えられており、またそれらの原因によって引き起こされる短絡流も、種々な様相を呈する。これらについて、概略的検討、ないしは現象論的な考察は、従来も種々行われているが、理論的な解析は、未だ不充分であると言わざるを得ない。短絡流を生ずる原因の一つとして、流入水中の浮遊物による密度流について、理論解析を試み、密度流の流速および死水領域を生ずる条件などについて、一応の結論を得たので、次節以下これについて述べる。

従来、沈殿池の密度流については、中川氏の報告<sup>1)2)</sup>があり、密度流の流速を与えている。

2. 基礎式 水平流矩形沈殿池の中の流れを又次元流として扱い、粘性および乱れの影響を無視する。簡単のため流入水と池内の水との温度差はないものとし、浮遊物の沈降速度は一様とし、また流入水の流速および浮遊物の濃度は、流入部全水深について一様とし、定常状態にあるものとする。

池内の浮遊物の濃度を  $C$ 、流速を  $\vec{v}$ 、沈降速度を  $\vec{v}_d$  とすると、拡散を無視するから

$$-\frac{\partial C}{\partial t} = \operatorname{div} C (\vec{v} + \vec{v}_d) = C \operatorname{div} \vec{v} + (\vec{v} + \vec{v}_d) \operatorname{grad} C = 0$$

$\operatorname{div} \vec{v} = 0$  であるから  $(\vec{v} + \vec{v}_d) \operatorname{grad} C = 0$  ゆえに、浮遊物の軌跡線上では濃度は一定である。しかる流入水の濃度は一定としたから、沈殿池の内部は上層部(密度  $\rho_a$ )と懸濁部(密度は流入水と等しいとする)の2部分に分れ、それぞれの内部では、密度は一様となる。

水表面に流れ方向に  $X$  軸、水面より鉛直下向きに  $Z$  軸をとると、流れ関数  $\psi$  を用いて、それぞれの部分における運動方程式は、 $u = \frac{\partial \psi}{\partial Z}$ 、 $w = \frac{\partial \psi}{\partial X}$  として

$$\begin{aligned} \frac{\partial^2 \psi}{\partial Z^2} - \frac{\partial^2 \psi}{\partial X^2} + \frac{1}{\rho} \frac{\partial p}{\partial X} &= 0 \\ -\frac{\partial^2 \psi}{\partial Z^2} + \frac{\partial^2 \psi}{\partial X^2} + \frac{1}{\rho} \frac{\partial p}{\partial Z} &= g \end{aligned} \quad \left. \begin{array}{l} p \text{ は } p_a \text{ 又は } p_b \\ \end{array} \right\} (1)$$

これから  $\psi$  を消去すると、 $\frac{\partial^2 \psi}{\partial Z^2} \frac{\partial^2 \psi}{\partial X^2} (\Delta \psi) - \frac{\partial^2 \psi}{\partial X^2} \frac{\partial^2 \psi}{\partial Z^2} (\Delta \psi) = 0$  となり、さらに独立変数を  $(X, \psi)$  とすると、 $(\frac{\partial}{\partial X} \Delta \psi)_\psi = 0$  となり、

$$\Delta \psi = f(\psi) \quad (2)$$

をうる。ただし  $f(\psi)$  は  $\psi$  の任意関数である。

簡単のため  $u \gg w$  とおく、 $\frac{\partial \psi}{\partial X} \ll \frac{\partial \psi}{\partial Z}$  であるから (2) は  $\frac{\partial^2 \psi}{\partial Z^2} = f(\psi)$  となり、

$$\frac{1}{2} \left( \frac{\partial \psi}{\partial Z} \right)^2 = F(\psi) + \phi(x) \quad (3)$$

ここに  $F(\psi) = \int f(\psi) d\psi$ 、 $\phi(x)$  は  $\psi$  および  $x$  の任意関数である。(3) を流線に沿って微分すると

$$\left( \frac{\partial \psi}{\partial Z} \right)_x \left( \frac{\partial \psi}{\partial Z} \right)_y = \left( \frac{\partial \psi}{\partial Z} \right)_x \left\{ \frac{\partial^2 \psi}{\partial X \partial Z} - \frac{\partial^2 \psi}{\partial Z^2} \frac{\partial^2 \psi}{\partial X^2} \right\} = \frac{\partial \psi}{\partial Z} \frac{\partial^2 \psi}{\partial X \partial Z} - \frac{\partial \psi}{\partial X} \frac{\partial^2 \psi}{\partial Z^2} = \frac{d\phi}{dx}$$

これを(1)の第1式に代入すると  $\frac{1}{\rho} \frac{\partial p}{\partial x} = -\frac{d\phi}{dx}$ , また(1)の第2式で  $\frac{\partial}{\partial x} \ll \frac{\partial}{\partial z}$  とすると  $\frac{1}{\rho} \frac{\partial p}{\partial z} = g$

$$\frac{p}{\rho} = gz - \phi(x) + \text{const} \quad (4)$$

懸濁部については、一様流入速度を  $u_0$  とすれば、 $x=0$  で  $u = \frac{\partial \psi}{\partial z} = u_0$  だから(3)より

$$\frac{1}{2} u_b^2 = \frac{1}{2} u_0^2 + \phi(x) - \phi(x_0) \quad [u_b \text{は懸濁部の流速}]$$

$u_b$  は  $x$  だけの関数となり、 $x=0$ ,  $z=0$  で  $p=0$ ,  $\psi=0$  とすると、底面  $z=h$  で  $\psi=u_0 h$  だから

$$\psi = u_0 h - u_b(h-z) \quad (5)$$

$$(4) \text{より} \quad p = p_a g z - \frac{1}{2} \rho_a (u_b^2 - u_0^2) \quad (6)$$

上層内では、流速が小さいとして水面変化を無視すれば、表面流速を  $u_s$  として(4)より

$$p = p_a g z + \frac{1}{2} \rho_a (u_s^2 - u_0^2) \quad (7)$$

つぎに両部分の接続条件を求める。接続面の水深および流れ関数を  $z_c$ ,  $\psi_c$  とするとき、

$$\frac{\partial \psi}{\partial z} \frac{dz_c}{dx} + \frac{\partial \psi}{\partial x} = w_0 \quad [w_0 \text{は沈降速度}]$$

$\psi$ ,  $\frac{\partial \psi}{\partial z}$ ,  $\frac{\partial \psi}{\partial x}$  は両部分で連続だから [境界面は流線ではない] (5)を代入し、さらに積分すると

$$u_b = \frac{u_0 h - w_0 z_c}{h - z_c} \quad (8)$$

$$\text{したがって (6) より} \quad \psi_c = w_0 x \quad (9)$$

一方  $z_c$  で (6) と (7) とは等しいから  $p_b - p_a \ll p_a$  として

$$(p_b - p_a) g z_c = \frac{1}{2} \rho_a (u_b^2 - u_s^2) \quad (10)$$

(8)を代入して  $u_b$  を求め (7) に代入すると、(3)(4)より

$$\frac{1}{2} \left( \frac{\partial \psi}{\partial z} \right)^2 = F(\psi) + \frac{1}{2} \left( \frac{u_0 h - w_0 z_c}{h - z_c} \right)^2 - \frac{p_b - p_a}{\rho_a} g z_c$$

$z = z_c$  とおくと (8) より

$$F(\psi_c) = \frac{p_b - p_a}{\rho_a} g z_c \quad (11)$$

となるから (9) を用いて

$$z = \int_0^{\psi} \left[ \left( \frac{u_0 h - \psi}{h - \frac{F(\psi)}{\rho_a g}} \right)^2 - 2 \left\{ F(\psi) - F(\psi_c) \right\} \right]^{\frac{1}{2}} d\psi \quad (12)$$

$\psi = \psi_c$  とすると、(11) より

$$\xi_c = \int_0^{\xi_c} \left\{ \left( \frac{1 - \xi_c}{1 - \xi} \right)^2 - K (\xi_c - \xi) \right\}^{\frac{1}{2}} d\xi \quad (13)$$

ただし、

$$\xi = \frac{\psi}{u_0 h}, \quad \xi_c = \frac{\psi_c}{u_0 h} = \frac{w_0}{u_0 h} x, \quad \xi \dot{=} \frac{F(\psi)}{\frac{p_b - p_a}{\rho_a} g h}, \quad \xi_c \dot{=} \frac{F(\psi_c)}{\frac{p_b - p_a}{\rho_a} g h} = \frac{z_c}{h} \quad (14)$$

$$K = \frac{p_b - p_a}{\rho_a} \frac{2gh}{u_0^2} = Fr^{-2} \quad (15)$$

すなわち  $K$  は密度差に対する重力を用いたフルード数  $Fr$  の逆2乗である。 $\xi$  の方にに関する積分方程式 (13) を解けば、流れの状態が求められる。

### 3 死水領域の発生 (8), (10) に (14) を用いれば

$$\frac{u_b}{u_0} = \sqrt{\left( \frac{1 - \xi_c}{1 - \xi} \right)^2 - K \xi_c^2} \quad (16)$$

したがって

$$\left(\frac{1-\xi_c}{1-\xi_{c*}}\right)^2 = K \xi_c \quad (17)$$

となれば  $u_s=0$  となり、そこから先は表面に死水域を伴う別の解に移る。Kの値がある程度以上大きい場合には、(17)を満足する  $\xi_c$   $[0 < \xi_c < 1]$  が存在する。

水面近くに死水域が存在する場合、上澄内部の圧力は(4)より  $P = \rho_a g Z + \frac{\rho_a}{2} u_o^2$  となり、これが  $Z = Z_c$ において(6)に等しいとおくと(17)をうる。したがって水面近くに死水域を伴う部分の流れの状態は(17)で与えられる。懸濁部では(3)、(17)より  $\frac{u_b}{u_o} = \sqrt{K \xi_c}$ 、上澄内では(4)より  $u = 0$  だから、(3)より  $\frac{u_b}{u_o} = \sqrt{2F(K)}$  すなわち流線上の速度は一定である。

以上の考察から、死水の深さを  $Z_d$  とすると、

$$\frac{Z_d}{R} = \frac{1}{2} (3\xi_{c*} - \ln \xi_{c*}) - \frac{1}{2} (3\xi_c - \ln \xi_c) - \int_0^{\xi_{c*}} \frac{d\xi}{\sqrt{K \xi}} \quad (18)$$

ここに  $\xi_{c*}, \xi_c$  は死水発生の点における  $\xi_c, \xi$  の値である。

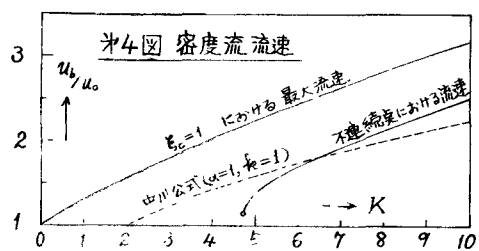
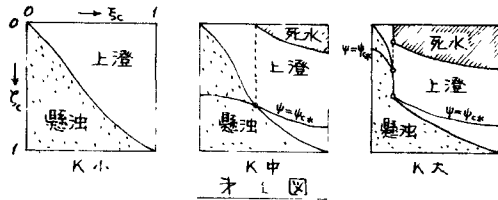
さて、Kの値がさらに大きい場合には、(13)の解は(17)が成立つ以前に  $\frac{d\xi_c}{d\xi_{c*}}$  が無限大となる。そして不連続的に別の解に移行することになる。これは明らかに  $u \gg w$  としたためで、実際には、この附近で  $w \approx 0$  となり、急激ではあるが、連続的に死水を伴う解に移行すると考えられる。したがって、この不連続点における接続条件に流量および各流線以下のエネルギーが保存されるものと仮定すると、上部に死水域をもつものとすれば、接続後の条件として、やはり(17)を得る。そこで  $\frac{d\xi_c}{d\xi_{c*}} = \infty$  となった所の  $\xi_c$  を用いて(17)より  $\xi_c$  を求めれば、これを境界条件として前と同様に、死水を伴う部分の流れを求めることができる。

これらの様子を定性的に第1図に示す。

**4 計算結果および考察** 各種のKの値に対して上述のようにまず(13)を解き、さらに(17)、(18)より死水を伴う部分の解を求めた結果を第2図および第3図に示す。第2図は懸濁部と上澄との境界および死水域を示し、また第3図は表面流速および懸濁部分の流速すなわち、いわゆる密度の流速を示す。K > 3.4 で死水域を生じ、さらに K > 4.7 では不連続（実際には下向きの流れを伴う明らかな密度流を生ずる）となる。密度流の流速として、 $\psi = 1$  すなわち死水域をちょうど終了した所における  $u_b$  と、不連続点を通過した直後における  $u_b$  とをとると、第4図のようになる。比較のために、中川公式<sup>(1), (2)</sup>

$$u_b = \sqrt{2K \frac{\rho_a - \rho_s}{\rho_a} g} \cdot \rho_s \frac{1}{\rho_a}$$

において、エネルギーの有効率  $\eta$  および稀釈率  $\xi$  を共に 1 とし、一様流入に対し  $\Delta h = h/2$  とすると、 $\frac{u_b}{u_o} = \sqrt{K/2}$  となる。これを第4図中の点線で示す。不連続点通過直後の値とはほぼ近い道となつている。



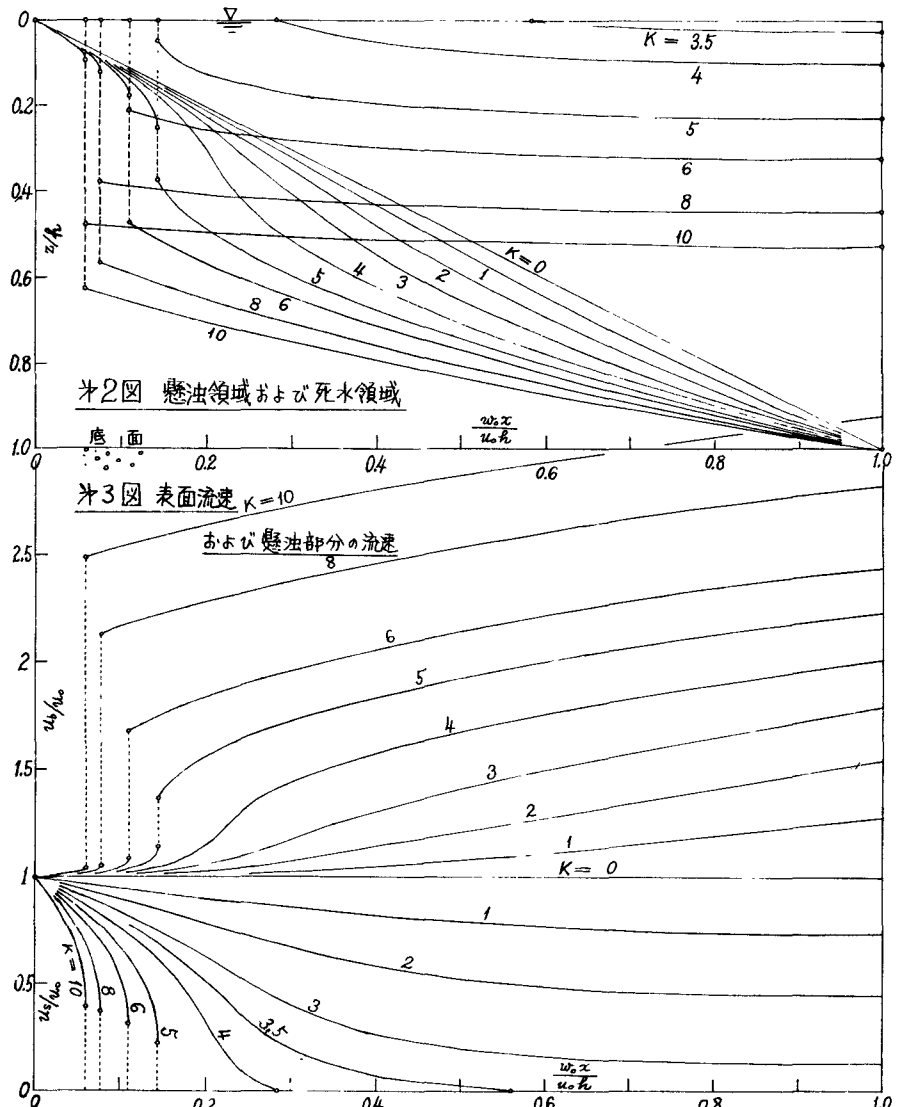


図2 懸濁領域および死水領域

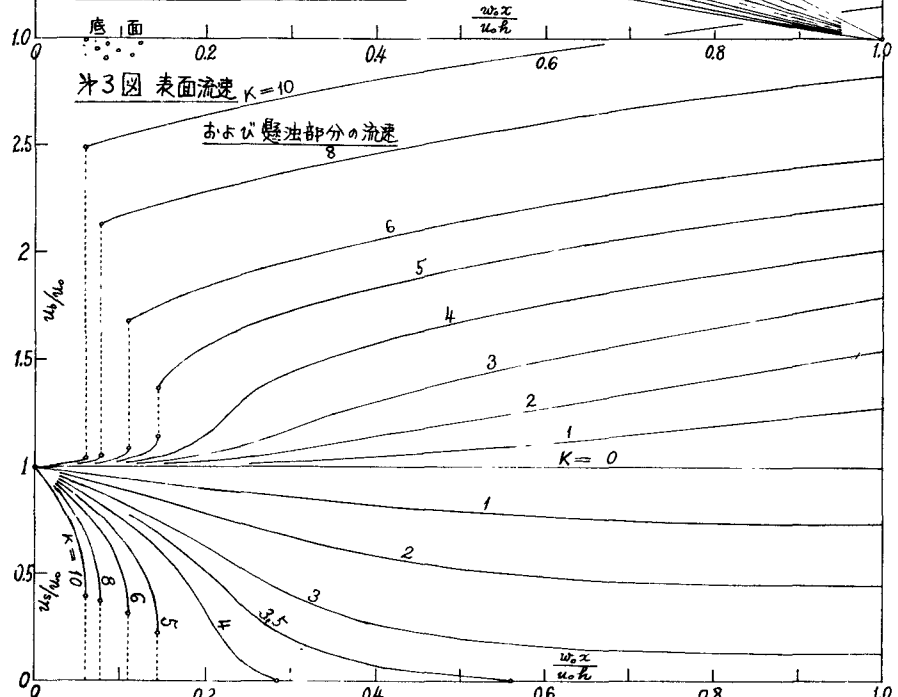


図3 表面流速  $K=10$

および懸濁部分の流速

5 まず、完全流体の運動方程式を解くことにより、水平流矩形沈殿池内の密度流を解き、流速と死水域とを求めた。非常に理想化しており、直ちに実地に適用することはできないが（現に、中川公式では $\lambda \approx 0.5$ 、 $\kappa \approx 1.5$ としている）沈殿池における密度流と、それに伴う死水の発生について参考になれば幸いである。本論文の計算には、九州大学中央計算施設のOKITA5090-H電子計算機を使用した。

参考文献 ① 水道研究、第23号 P.2

② 水道協会雑誌、第258号 P.9

3) 同第333号 P.28